

# Pf1 : Balançoire

I-1



Si les deux cordes sont initialement tendues, le mouvement sera nécessairement plan

I-2

On a vu :  $x = \frac{l}{2}$ , soit :

$$I_x = \frac{ml^2}{12} + ml^2 = \frac{4ml^2}{3} = I_x$$

I-3-a On a

- 1 bambin  $lh$ ,  $m_h$  à  $l_0 - \frac{lh}{2}$
- $lj$ ,  $m_j$  à  $l_0 - \frac{lj}{2}$ , soit
- $lc$ ,  $m_c$  à  $l_0 - \frac{lc}{2}$

$$I_0 = m_h \left( \frac{lh^2}{12} + \left( l_0 - \frac{lh}{2} \right)^2 \right) + m_j \left( \frac{lj^2}{12} + \left( l_0 - \frac{lj}{2} \right)^2 \right) + m_c \left( \frac{lc^2}{12} + \left( l_0 - \frac{lc}{2} \right)^2 \right) = 84 \text{ kg m}^2$$

et

$$\tau_\Delta = I_0 \ddot{\theta}$$

I-3-b On a les c.d.m. de chacune des tiges au milieu des tiges

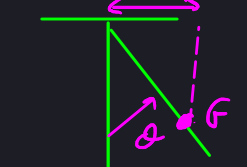
- $m_h$  à  $(l_0 - \frac{lh}{2})$
- $m_j$  à  $(l_0 - \frac{lj}{2})$
- $m_c$  à  $(l_0 - \frac{lc}{2})$

$$OG = \frac{m_h(l_0 - \frac{lh}{2}) + m_j(l_0 - \frac{lj}{2}) + m_c(l_0 - \frac{lc}{2})}{m_h + m_j + m_c}$$

$$l_0 = 1,8 \text{ m}$$

I-3-c L'ensemble enfant + corde + siège est un solide en rotation autour de  $\Delta$  le siège

- de cdm G
- de moment d'inertie  $I_0$
- soumis à  $\vec{P} = (m_h + m_j + m_c) \vec{g}$



Le th. du moment cinétique s'écrit

$$I_0 \ddot{\theta} = - m_h l_0 g \sin \theta, \text{ avec } m_h l_0 = m_h + m_c + m_j = 26 \text{ kg}$$

Soir  $\ddot{\theta} + \omega^2 \sin \theta = 0$  avec ( $\sin \theta \ll 1$ )

$$\omega_0 = \sqrt{\frac{m_h l_0^2}{I_0}} = 2,3 \text{ rad/s}$$

$$T_0 = \frac{2\pi}{\omega_0} = 2,71$$

I-3-d] Conservation de  $\mathcal{E}_{\text{kin}}$  entre :



$$\mathcal{E}_{\text{kin}} = \frac{1}{2} I_0 \dot{\theta}^2 + \frac{m g l_0}{2} (1 - \cos \theta) \leftarrow \mathcal{E}_c + \mathcal{E}_p$$

$r=0$

$r=r_{\text{max}}$

On obtient

$\theta=0$

$\theta=\theta_0$

avec  $r=l_0 \theta$

$$\frac{1}{2} I_0 \frac{r_{\text{max}}^2}{l_0^2} = m g l_0 (1 - \cos \theta_0)$$

Donc

$$r_{\text{max}} = l_0 \sqrt{\frac{2 m g l_0 (1 - \cos \theta_0)}{I_0}} = 1,7 \text{ m} \cdot \text{s}^{-2}$$

I-4-a] De nouveau, conservation de  $\mathcal{E}_{\text{kin}}$ :

$$\dot{\theta} = \pm \sqrt{\frac{2 m g l_0 (\cos \theta - \cos \theta_0)}{I_0}}$$

I-4-b] Sur  $\frac{1}{4}$  période, de  $\theta=0$  à  $\theta=+\theta_0$ ,

$$\begin{aligned} \dot{\theta} > 0 \text{ et } \dot{\theta} = \frac{d\theta}{dt} = \sqrt{\frac{2 m g l_0 (\cos \theta - \cos \theta_0)}{I_0}} \\ \frac{T(\theta_0)}{4} \int_{\theta=0}^{d\theta} dt &= \int_{\theta=0}^{d\theta} \frac{d\theta \sqrt{\frac{I_0}{2 m g l_0 (\cos \theta - \cos \theta_0)}}}{\sqrt{\cos \theta - \cos \theta_0}} \end{aligned}$$

$$T(\theta_0) = 2 \sqrt{\frac{2 \pi}{m g l_0}} \int_{\theta=0}^{\theta_0} \frac{d\theta}{\sqrt{\cos \theta - \cos \theta_0}}$$

$\theta \ll T(\theta_0) \rightarrow T_0$

$\theta \rightarrow \pi \quad T(\theta_0) \rightarrow +\infty$

I-4-c] On pose  $\sin u = \frac{\sin(\theta/2)}{\sin(\theta_0/2)}$

$$\Rightarrow \cos u du = \frac{\cos(\theta/2) d\theta/2}{\sin(\theta_0/2)}$$

$$\begin{aligned} \text{avec } \cos \theta &= 1 - 2 \sin^2 \frac{\theta}{2} && \text{notons que } 0 \leq \theta_0 < \pi/2 \\ \cos \theta_0 &= 1 - 2 \sin^2 \frac{\theta_0}{2} && \text{donc } \sin \theta > 0 \\ &= 2 \left( \sin^2 \frac{\theta_0}{2} - \sin^2 \frac{\theta}{2} \right) && \cos \theta > 0 \\ &= 2 \sin^2 \frac{\theta_0}{2} \left( 1 - \sin^2 u \right) && \text{et } u \in [0, \pi/2] \end{aligned}$$

$$\begin{aligned} \text{donc } \frac{d\theta}{\cos \theta - \cos \theta_0} &= \frac{2 \cos u du \sin \frac{\theta_0}{2}}{\cos \frac{\theta}{2} \sqrt{2 \sin^2 \frac{\theta_0}{2} \sqrt{1 - \sin^2 u}}} \\ &= \frac{\sqrt{2} du}{\cos \frac{\theta_0}{2}} = \frac{\sqrt{2} du}{\sqrt{1 - \sin^2 \frac{\theta_0}{2} \sin^2 u}} \end{aligned}$$

Finalement

$$T(\theta_0) = 4 \int_0^{\frac{\pi}{2}} \frac{du}{\sqrt{1 - \sin^2 \frac{\theta_0}{2} \sin^2 u}}$$

$$= \frac{1}{\omega_0} = \frac{T_0}{2\pi}$$

$$T(\theta_0) = \frac{2 T_0}{\pi} \int_0^{\frac{\pi}{2}} \frac{du}{\sqrt{1 - \sin^2 \frac{\theta_0}{2} \sin^2 u}}$$

Pour  $\sin \frac{\theta_0}{2} \ll 1$ :

$$\frac{1}{\sqrt{1 - \sin^2 \frac{\theta_0}{2} \sin^2 u}} \approx 1 + \frac{\sin^2 \theta_0 / 2}{2} \sin^2 u$$

$$\approx 1 + \frac{\theta_0^2}{8} \sin^2 u$$

$$\int_0^{\frac{\pi}{2}} \left(1 + \frac{\theta_0^2}{8} \sin^2 u\right) du \approx \frac{\pi}{2} + \frac{\theta_0^2}{8} \int_0^{\frac{\pi}{2}} \sin^2 u du$$

Soit

$$\boxed{\frac{T(\theta_0)}{T_0} = 1 + \frac{\theta_0^2}{16}}$$

Pour  $60^\circ = 1,0 \text{ rad}$

$$\frac{\theta_0^2}{16} = 7 \cdot 10^{-2} \text{ et on obt bien } \frac{T}{T_0} = 1 + 0,07 \text{ en } 60^\circ$$

I-5-a] Le th. de l'énergie mécanique:

entré

$$\Delta E_m = m v_{avg}^2 / (\cos \theta_0 - \cos \theta_1)$$

$$= W_f(F) = -P(\theta_0 + \theta_1)$$

I-5-b] On a  $\frac{\cos \theta_1 - \cos \theta_0}{\theta_0 + \theta_1} = \frac{P}{m v_{avg}}$

Pour  $\theta_0 - \theta_1 \ll 1$

$$\begin{cases} \theta_0 + \theta_1 \approx \theta_0 \\ \cos \theta_1 - \cos \theta_0 \approx \sin \theta_0 (\theta_0 - \theta_1) \end{cases}$$

Soit

$$\theta_0 - \theta_1 \approx \frac{2\theta_0 P}{m v_{avg} \sin(\theta_0)}$$

Pour  $\alpha < 30^\circ$ , on peut approximer  $\sin \alpha \approx \alpha$

Soit  $\theta_0 - \theta_1 \approx \frac{2P}{m v_{avg}}$ . On a donc

$$\frac{2N_f P}{m v_{avg}} = \frac{\theta_0}{2}$$

$$P = \frac{\theta_0 m v_{avg}}{4 N_f}$$

$$\approx 12 \text{ kg m}^2 \text{s}^{-2}$$

I-5-c] Le moment de la force est

$F_0$

$$\delta Y = F_0 \theta_0, \text{ son travail sera } W_m = 2F_0 \theta_0 \theta_p.$$

Elle compensera le travail de la force de frottement  
 $W_f = -2F \theta_{max}$  avec  $\theta_{max} = 80^\circ$ , soit

$$F_0 = \frac{P \theta_{max}}{\ell_0 \theta_p} = 95 N$$

$\begin{matrix} P \\ \downarrow \\ 2 \end{matrix} \quad \begin{matrix} \theta_{max} \\ \uparrow \\ 80^\circ \end{matrix} \quad \begin{matrix} \ell_0 \\ \uparrow \\ 2 \end{matrix} \quad \begin{matrix} \theta_p \\ \uparrow \\ 5^\circ \end{matrix}$

III-1-a] On a

$$\begin{aligned} I_a &= I_0 \text{ et } I_d = m_b \left( \frac{\ell h^2}{12} + \left[ l_0 - \left( l_j + \frac{l_c}{2} \right) \right]^2 \right) \\ &\quad + m_c \left( \frac{l_c^2}{12} + \left[ l_0 - \left( l_j + \frac{l_c}{2} \right) \right]^2 \right) \\ &\quad + m_j \left( \frac{l_j^2}{12} + \left[ l_0 - \frac{l_j}{2} \right]^2 \right) \\ &= 51 \text{ kg m}^2 < I_0 = I_a \end{aligned}$$

III-1-b] On a  $l_a = l_e$  et on calcule

$$\begin{aligned} m_b l_d &= m_b \left( l_0 - \left( l_j + l_c + \frac{\ell h}{2} \right) \right) \\ &\quad + m_c \left( l_0 - \left( l_j + \frac{l_c}{2} \right) \right) \rightarrow l_d = 1,4 \text{ m} < l_e \\ &\quad + m_j \left( l_0 - \frac{l_j}{2} \right) \end{aligned}$$

III-2-a] Entre  $-\theta_m$  et  $\theta_{m+1}$ , le moment cinétique  $I(\theta)$  et la distance du barycentre à l'axe  $\ell(\theta)$

varient :

- $\theta \in [-\theta_m, 0]$ :  $I = I_a$     $\ell = l_a = \ell_0$
- $\theta \in [0, \theta_{m+1}]$ :  $I = I_d$     $\ell = l_d$     $\ell(\theta)$

On calcule  $\frac{d(I(\theta)\dot{\theta})}{dt} = 2I(\theta)\dot{\theta} \times \frac{d}{dt}(I(\theta)\dot{\theta})$   
 qu'on intègre entre  $-\theta_m$  et  $\theta_{m+1}$ , par rapport au temps

$$\begin{cases} \bullet \int_{-\theta_m}^{\theta_{m+1}} \frac{d(I(\theta)\dot{\theta})}{dt} dt = 0 \text{ car } \dot{\theta} = 0 \text{ avec extrémités} \\ \bullet I(\theta)\dot{\theta} = \text{moment cinétique} \rightarrow \frac{d(I(\theta)\dot{\theta})}{dt} = \cancel{\frac{dI}{dt}\dot{\theta}} = -m_b g \ell(\theta) \sin(\theta) \end{cases}$$

s'obtient :

$$\theta_{m+1}$$

$$\theta = \int_{-\theta_m}^{\theta_{m+1}} 2I(\theta)\dot{\theta} \times (-m_b g \ell(\theta) \sin(\theta)) dt = d\theta$$

$$\theta = \int_{-\theta_m}^{\theta_{m+1}} I(\theta) \ell(\theta) \sin(\theta) d\theta$$

(on enlève  $-2m_b g$ )

III-2-b]  $I(\theta)$  et  $\ell(\theta)$  sont constants par morceaux

$$\bullet \int_{-\theta_m}^0 I_a l_a \sin(\theta) d\theta = I_a l_a (\cos(\theta_m) - 1)$$

$$\bullet \int_0^{\theta_{m+1}} I_d l_d \sin(\theta) d\theta = I_d l_d (1 - \cos(\theta_{m+1}))$$

Avec  $1 - \cos \theta = 2 \sin^2 \frac{\theta}{2}$ , il vient

$$I_a l_a (\cos \theta_m - 1) + I_d l_d (1 - \cos \theta_{min}) = 0$$

$$\rightarrow I_a l_a \sin^2 \left( \frac{\theta_m}{2} \right) = I_d l_d \sin^2 \left( \frac{\theta_{min}}{2} \right)$$

$$\sin^2 \left( \frac{\theta_m}{2} \right) = \sin^2 \left( \frac{\theta_0}{2} \right) \times \frac{I_a l_a}{I_d l_d} = \beta^2 \quad \text{avec } \beta > 1$$

car  $I_a > I_d$   
 $l_a > l_d$

suite géométrique

$$\rightarrow \sin \left( \frac{\theta_m}{2} \right) = \sin \left( \frac{\theta_0}{2} \right) \beta^m$$

Rem. valable tant que  $\frac{\theta_m}{2} \in [0, \frac{\pi}{2}]$  i.e  $\theta_m \in [0, \pi]$  car au delà  $\theta_m$  ne s'annule plus... Pour avoir  $\theta_m > \frac{\pi}{2}$ , il faut de plus des tiges rigides.

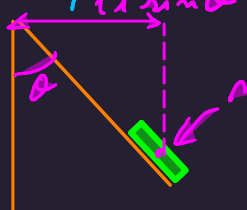
$$\underline{\text{II-2-c}} \quad \text{On calcule} \quad \beta = \sqrt{\frac{I_a l_a}{I_d l_d}} = 2,3$$

$$\text{puis } \sin \left( \frac{\theta_0}{2} \right) = \sin \left( \frac{\theta_0}{2} \right) \beta^4 \rightarrow \theta_0 = 63^\circ$$

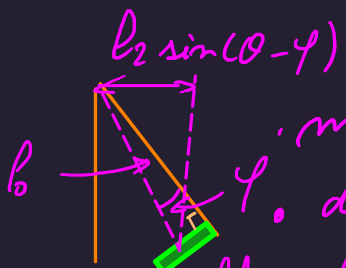
Pour  $m=5$ :  $\sin \left( \frac{\theta_0}{2} \right) \beta^5 > 1$ : on a déjà dépassé la verticale

III-1 En position couché, le haut du corps est plus loin de l'axe donc  $I' > I_0$

III-2a On sépare les moments des poids des 2 parties:



masse  $m_j + m_c$   
distance à l'axe  $l_0 - l_1 = l_1$   
bras de levier  $l_1 \sin \theta = 1,85\text{m}$



masse  $m_j$   
distance à l'axe  $\sqrt{l_0^2 + \left(\frac{l_0 h}{2}\right)^2} = l_2$   
bras de levier  $l_2 \sin(\theta - \varphi)$   
avec  $\tan \varphi = \frac{l_0 h / 2}{l_0} \quad \varphi = 70^\circ$

La loi du moment cinétique s'écrit:

$$I' \ddot{\theta} = - (m_j + m_c) g l_1 \sin \theta - m_h g l_2 \sin(\theta - \varphi)$$

$$\ddot{\theta} = - \omega_1^2 \sin \theta - \omega_2^2 \sin(\theta - \varphi)$$

$$\omega_1^2 = \frac{(m_j + m_c) g l_1}{I'}$$

$$\omega_2^2 = \frac{m_h g l_2}{I'}$$

III-2-b] On a, à  $t=0$ , où  $\theta=0$

$$\ddot{\theta} = +\omega_2^2 \sin(\varphi) > 0 \rightarrow \text{accélération vers les} \\ \theta > 0$$

La position d'équilibre n'est plus  $\theta=0$  mais  $\theta_{eq}$  tel que  $0 = -\omega_1^2 \sin(\theta_{eq}) - \omega_2^2 \sin(\theta_{eq} - \varphi)$  soit, pour les petits angles :

$$\omega_1^2 \theta_{eq} = -\omega_2^2 (\theta_{eq} - \varphi)$$

$$\theta_{eq} = \frac{\omega_2^2 \varphi}{\omega_1^2 + \omega_2^2}$$

Les oscillations sont alors quasi harmoniques, on oscille entre  $\theta=0$  et  $\theta=2\theta_{eq}$

On a donc  $\Delta\theta = 2\theta_{eq}$

$$= \frac{2\omega_2^2 \varphi}{\omega_1^2 + \omega_2^2}$$

On a  $\varphi \approx \tan \varphi = \frac{lh}{2l_0}$  soit

$$\Delta\theta = \frac{lh m_h l_2 / l_0}{l_2 m_h + l_1 (m_j + m_c)}$$

$$\Delta\theta = 0,15 \text{ rad} = 8,6^\circ$$

III-2-c] Après avoir atteint  $\Delta\theta$ , l'enfant se redresse : l'équation devient  $\ddot{\theta} = -\omega_2^2 \sin\theta$  : oscillation autour de  $\theta=0$ . Sous l'hypothèse qu'on reste harmonique : on oscille donc de  $\Delta\theta$  à  $-2\Delta\theta$



Ensuite oscillation autour de  $\theta_{eq}$  jusqu'à

$$\begin{aligned} -\Delta\theta &\xrightarrow{\text{oscillation}} \Delta\theta + \theta_{eq} \\ &= 3\theta_{eq} \\ 3\theta_{eq} &= 2\Delta\theta \end{aligned}$$

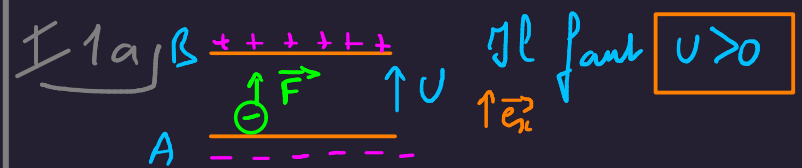
Il faudra

$$N = \left\lfloor \frac{30^\circ}{\Delta\theta} \right\rfloor = 3$$

Groissance de l'amplitude de  $\Delta\theta = 2\theta_{eq}$  à chaque oscillation.

Rem : il est encore raisonnable d'utiliser  $\sin(x) \approx x$  pour  $x = 30^\circ$

## Pr II : Optique électronique



I-1b] Conservat° de l'Em entre :

- A  $\mathcal{E}_L = 0 \quad \mathcal{E}_P = -eV_A$
- $\mathcal{E}_L(B) \quad \mathcal{E}_P = -eV_B$

$$\begin{aligned} \mathcal{E}_L(B) &= e(V_B - V_A) \\ &= eU \end{aligned}$$

Il faut  $U_0 = 200 \text{ keV}$  car la charge est  $q = -e$

I-2a] Loi de la gdm  $m\vec{a} = -e\vec{E} = \frac{eU}{d}\vec{e}_x$   
mouvement uniformément accéléré

$$x = \frac{1}{2} \left( \frac{eU}{dm} \right)^2 t^2 \quad (\text{car } x(0)=0)$$

$$\Delta t_{AB} = \sqrt{\frac{2d^2mc^2}{eU_0}} = 7,5 \cdot 10^{-11} \text{ s}$$

$\hookrightarrow 200 \text{ keV}$

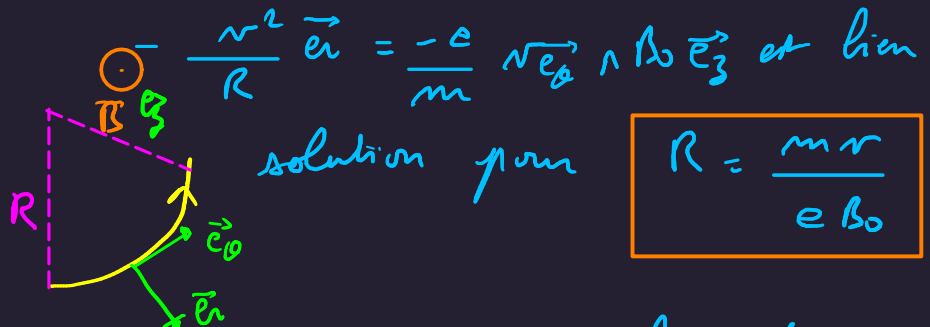
I-2b]  $\Delta t_{AB} \propto d$  : on aura  $\Delta t_{AB} = 3,8 \cdot 10^{-11} \text{ s}$   
pour  $d = 5 \text{ mm}$ .

I-3] La conservation d'Em donne ici  
 $(\gamma_{-1})mc^2 = eU_0$  soit  $\frac{1}{\sqrt{1-\frac{v^2}{c^2}}} = 1 + \frac{eU_0}{mc^2}$

$$\text{il } v = c \sqrt{1 - \frac{1}{1 + \left(\frac{eU_0}{mc^2}\right)^2}} = 3,1 \cdot 10^8 \text{ m.s}^{-1}$$

II-1-a] Comme vu en cours

- Un champ magnétique qui n'a pas de travail sur la charge, le mouvement est donc uniforme.
- Le mouvement circulaire uniforme d'accélération



II-1-b] En mécanique relativiste, on a  $\vec{p} = \gamma m \vec{v}$ . Ici  $\gamma = \text{cte}$  (car  $\mathcal{E}_L = \text{cte}$  puisque  $q \vec{v} \times \vec{B}$  ne travaille pas) et donc

$$\frac{d\vec{p}}{dt} = \frac{d(\gamma m \vec{v})}{dt} = \gamma m \frac{d\vec{v}}{dt}$$

La loi de la qdm reste la même en remplaçant  $m$  par  $\gamma m$ , soit

$$R = \frac{\gamma m v}{e B_0}$$

II-2-a L'électron traverse si  $R > l$



II-2-b Pour  $R < l$ , il fait  $\frac{1}{2}$  tour

et ressort à la distance de

$$2R = \frac{\gamma m v}{e B_0} = \frac{2}{e} \sqrt{\frac{2m V_0}{e}} = 3 \cdot 10^{-2} \text{ cm}$$

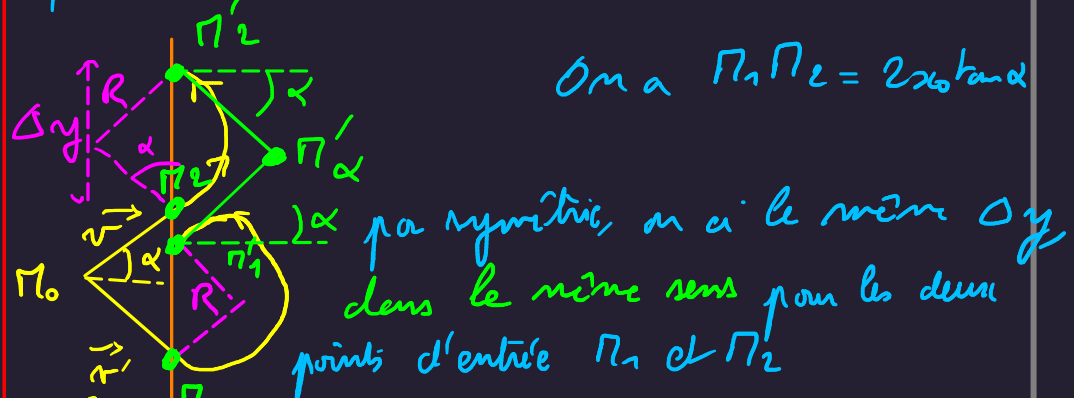
III-2-c

On a  $\|\vec{n}\| = \|\vec{n}_0\|$

$$\begin{aligned} l &= R \sin \theta \quad \sin \theta = \frac{B_0 l}{\sqrt{\frac{e}{2m V_0}}} \text{ pour } l=1 \text{ cm} \\ y &= R(1 - \cos \theta) \\ &= R \left(1 - \sqrt{1 - \frac{l^2}{R^2}}\right) \rightarrow \theta = 41^\circ \\ &= 3,8 \text{ mm} = y \end{aligned}$$

II-3-a On utilise le résultat de la question II-2-b et les adaptent

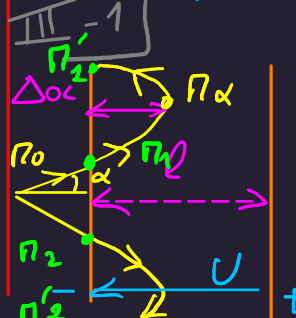
On a  $\Pi_1 \Pi_2 = 2x_0 \tan \alpha$



par symétrie, on a le même  $\Delta y$  dans le même sens pour les deux points d'entrée  $\Pi_1$  et  $\Pi_2$ .

Sit  $\Pi_1' \Pi_2' = \Pi_1 \Pi_2 = 2x_0 \tan \alpha$ . Comme on retrouve l'angle  $\alpha$  en sortie,  $\Pi'_\alpha$  est à la même distance  $x_0$  du plan d'entrée, distant de  $\Delta y = 2R \cos \alpha$  selon  $\vec{ey}$

II-3-b Pour  $\alpha \ll 1$ , on a  $\Delta y \approx 2R$  et  $\Pi'_\alpha \approx$  symétrique de  $\Pi_0$  comme pour un mince plan

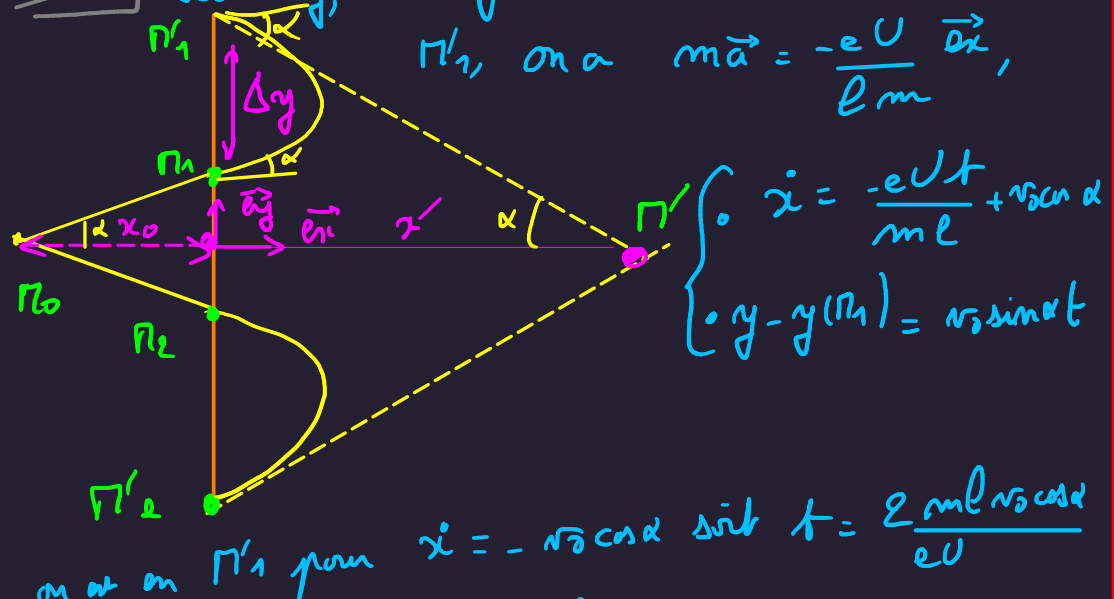


III-1 La conservation de l'énergie entre  $\Pi_0$  et  $\Pi_\alpha$  donne

$$\frac{1}{2} m v_0^2 - e V(\Pi_0) = \frac{1}{2} m v^2(\Pi_\alpha) - e V(\Pi_\alpha)$$

Donc  $n^2(n\alpha) = n_0^2 - \frac{2e}{m} (v(n_0) - v(n\alpha))$ . On peut traverser si  $n^2(n\alpha) > 0$  pour  $n\alpha$  en  $x = l$ . Il faut donc  $0 < n_0^2 < \frac{2eU}{m}$  pour qu'ils soient réfléchis à  $\alpha$ , en particulier  $\alpha = 0$ .

III-2] Selon  $\vec{\alpha}_y$ , on a  $y(n_1) = x_0 \tan \alpha$ . Entre  $P_1$  et  $P_2$ , on a  $m\vec{a} = -\frac{eU}{l m} \vec{\alpha}_x$ ,



$$\Delta y = y(P'_1) - y(P_1) = \frac{2mln_0^2}{eU} \sin \alpha \cos \alpha$$

$$\text{Finallement } y(n') = y(P_1) + \Delta y = x_0 \tan \alpha + \Delta y$$

$$\tan \alpha = \frac{y(n')}{x(n')} \text{ soit } x(n') = x_0 + \frac{\Delta y}{\tan \alpha} =$$

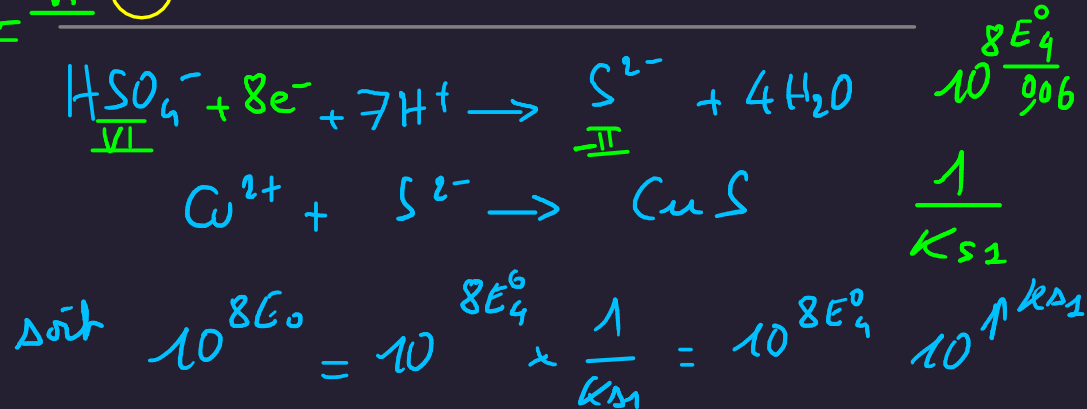
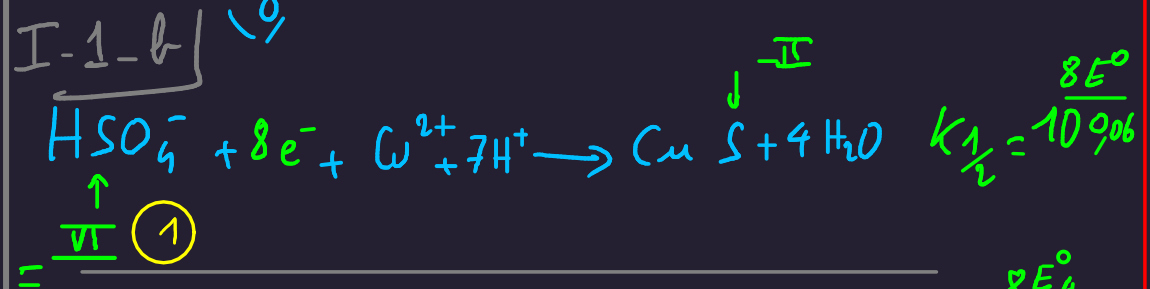
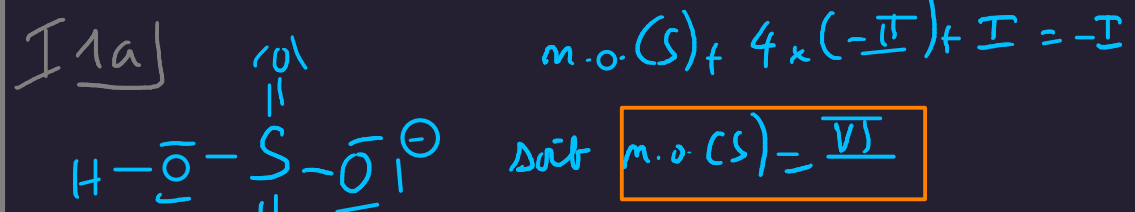
$$x(n') = x_0 + \frac{2mln_0^2 \cos^2 \alpha}{eU}$$

III-3] Pour  $\alpha \ll 1$ , on a

$$x(n') = x_0 + \frac{2mln_0^2}{eU}$$

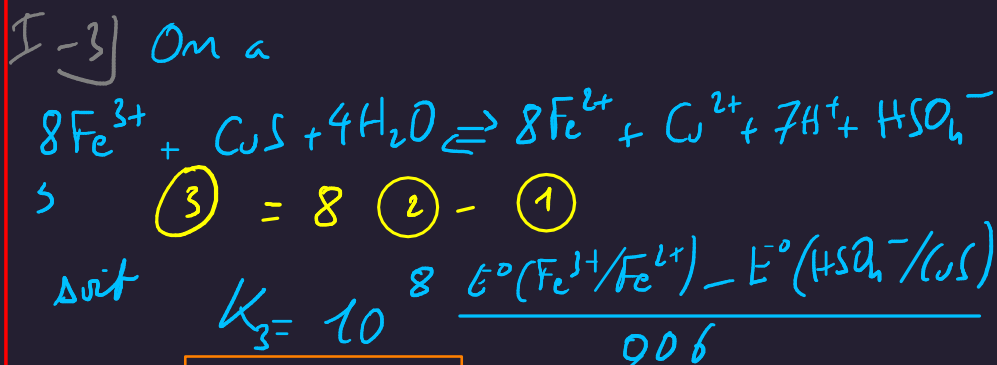
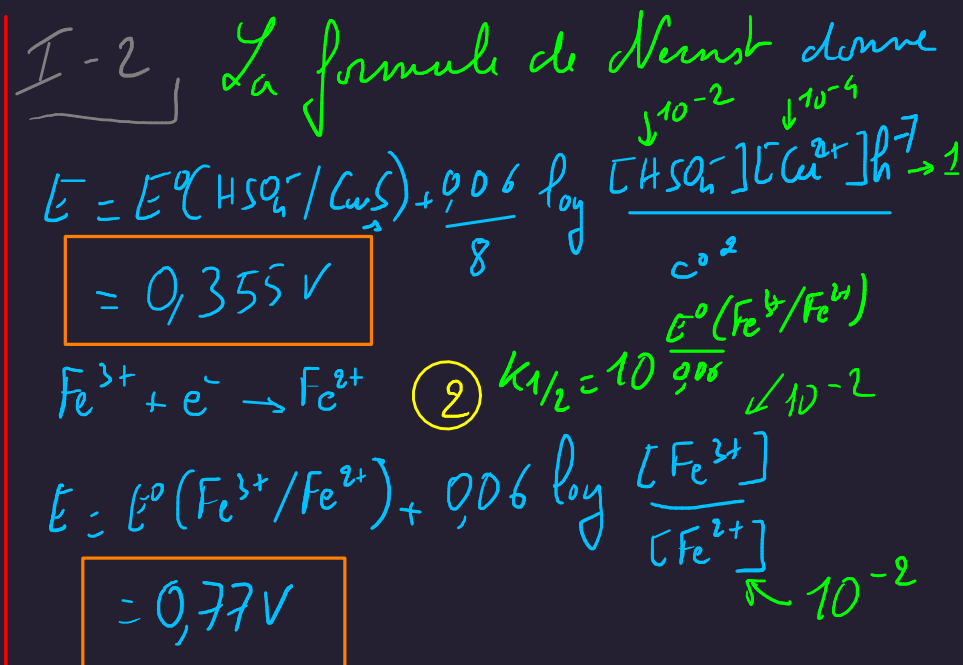
différent des cas d'un miroir pour lequel  $x(n') = x_0$

### Pf 3 Fixation



$$E^0(\text{HSO}_4^- / \text{CuS}) = E_q^0 + \frac{1 k_{\text{S}1}}{8} \times 0.06$$

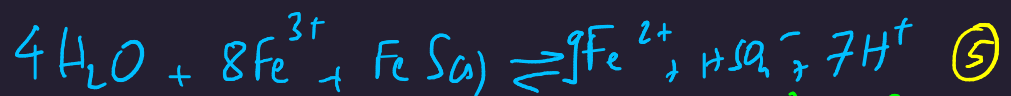
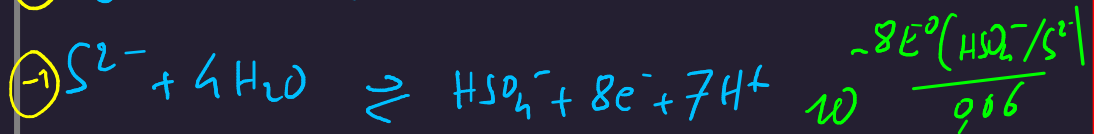
$$= 0.40 \text{ V}$$



Dans les conditions de I-2:

$$Q = \frac{[\text{Fe}^{2+}]^8 [\text{Cu}^{2+}] h^7 [\text{HSO}_4^-]}{[\text{Fe}^{3+}]^8} = 10^{-6} \ll 10^{50}$$

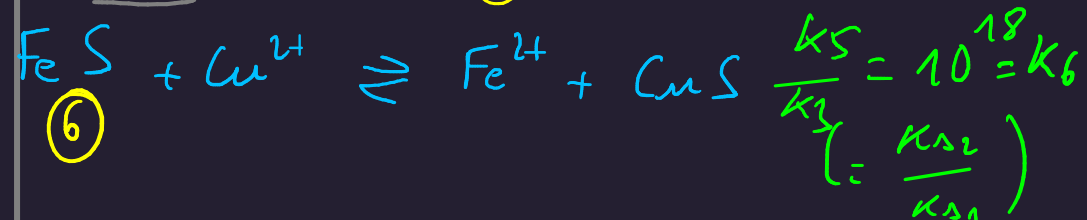
on observe bien la réaction.



$$K_5 = K_{S2} \cdot 10 \frac{8(E^{\circ}(\text{Fe}^{3+}/\text{Fe}^{2+}) - E^{\circ}(\text{HSO}_4^-/\text{S}^{2-}))}{9.06}$$

$$= 10^{68}$$

II-1-b) On étudie ⑤ - ③



En présence de  $\text{Cu}^{2+}$ ,  $\text{FeS}$  est instable : il est donc plus facile de dissoudre  $\text{FeS}$  que  $\text{CuS}$  par action de  $\text{Fe}^{3+}$

II - 2] On observe d'abord la dissolution de  $\text{FeS}$



$$\text{c}_{\text{Fe}^{3+}} = 5 \cdot 10^{-2} \text{ mol}$$

$$m_0 = \frac{m_0}{M} = 1,1 \cdot 10^{-2} \text{ mol}$$

$\text{Fe}^{3+}$  est un défaut, on le consomme entièrement mais il reste

$$m(\text{FeS}) = m_0 - \frac{5}{8} \cdot 10^{-2}$$

$$= 3,8 \cdot 10^{-3} \text{ mol}$$

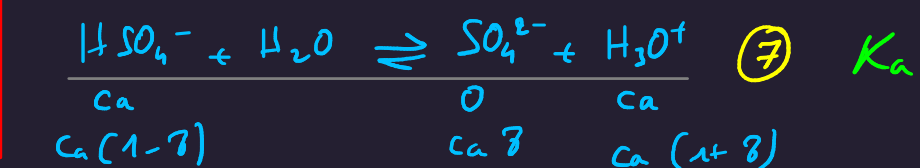
$$m(\text{Fe}) = 0,33 \text{ g}$$

On a formé  $\text{Fe}^{2+}$  à la concentration

$$[\text{Fe}^{2+}] = \frac{g}{8} c_{\text{Fe}} = 5,6 \cdot 10^{-1} \text{ mol.L}^{-1}$$

$\text{Cu}^{2+}$  est négligeable, avec

$$[\text{Cu}^{2+}] = \frac{[\text{Fe}^{2+}]}{K_6} = 5,6 \cdot 10^{-19} \text{ mol.L}^{-1}$$



$$\text{On a } K_a = \frac{c_0(1+\beta)^2}{c_0(1-\beta)} \text{ et } \beta H=0 \Rightarrow c_0(1+\beta) = 1 \text{ mol} \cdot L^{-1}$$

On suppose  $\beta < 1$  ie  $c_0 \approx 1 \text{ mol} \cdot L^{-1}$

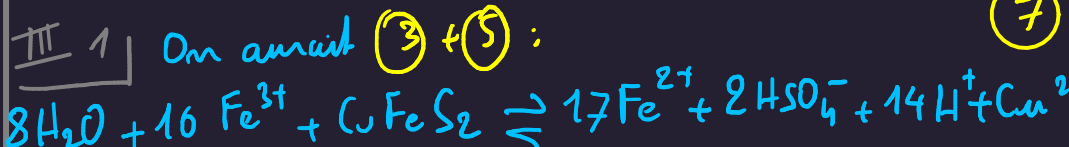
$$K_a \approx \frac{2c_0\beta}{c_0} \Rightarrow \beta = \frac{K_a c_0}{2c_0} = 6 \cdot 10^{-3}, \text{ bien } \ll 1$$

On a donc

$[HSO_4^-] \approx 1 \text{ mol} \cdot L^{-1}$
$[SO_4^{2-}] \approx 6 \cdot 10^{-3} \text{ mol} \cdot L^{-1}$

II-3-f

La dissolution de  $H_2SO_4$ , si elle avait conduit à  $\uparrow H=0$ , aurait produit  $10^{-1} \text{ mol}$  de  $HSO_4^-$ , soit 100 fois trop.



III-2  $\uparrow 2 m_0 = 8,2 \cdot 10^{-2} \text{ mol.}$

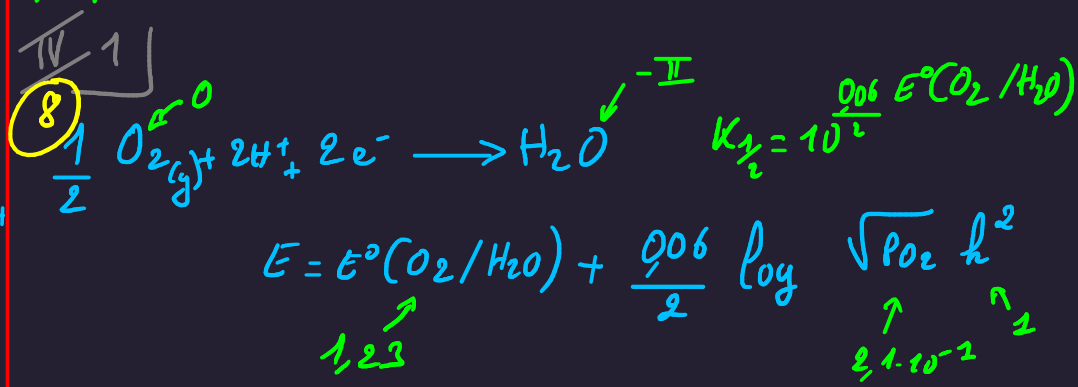
Mil faudrait  $32 m_0 = C_{Fe} V_{min} \rightarrow V_{min} = 1,4 L$

III-3 Si on peut considérer  $CuFeS_2$  comme 1 mélange équimolaire, on aurait:

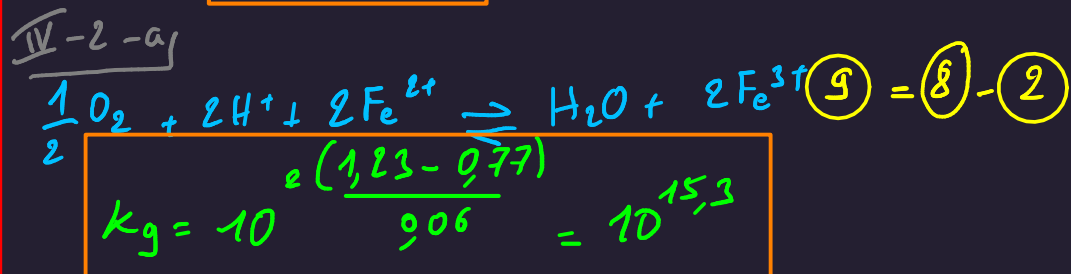
$V < \frac{V_{min}}{2}$ . Une fraction des  $Fe^{2+}$  de  $CuFeS_2$  sont dissous mais aucun des  $Cu^{2+}$  ne l'est.

$\frac{V_{min}}{2} < V < V_{min}$ . Toute le  $Fe^{2+}$  est dissous, ainsi qu'une fraction des  $Cu^{2+}$ .

Il est cependant peu probable que ce modèle soit pertinent et on observera plutôt une dissolution de  $Cu^{2+}$  et  $Fe^{2+}$  à des proportions comparables.



$$E = 1,22 V$$



IV - 2-b

On a

$$Q = \frac{[\text{Fe}^{3+}]^2}{[\text{Fe}^{2+}]^2} h^2 \sqrt{\rho_{\text{air}}} = 2.2 \text{ kJ/kg}$$

$\downarrow \quad \downarrow$   
 $1 \quad 1 \cdot 10^{-2}$

On observe bien cette réaction :  $\text{O}_2$  permet de régénérer du  $\text{Fe}^{3+}$  à partir d'une solution de  $\text{Fe}^{2+}$

Dém.: On aurait aussi bien pu vérifier que le potentiel de Nernst de  $(\text{O}_2/\text{H}_2\text{O})$  est supérieur à celui de  $\text{Fe}^{3+}/\text{Fe}^{2+}$

IV - 3-a On veut que  $\text{O}_2$  oxyde  $\text{Tred}$  pour former  $\text{Tox}$  et que  $\text{Tox}$  oxyde  $\text{Fe}^{2+}$ ; il faut donc

$$\mathcal{E}^\circ(\text{O}_2/\text{H}_2\text{O}) > \mathcal{E}^\circ(\text{Tox}/\text{Tred}) > \mathcal{E}^\circ(\text{Fe}^{3+}/\text{Fe}^{2+})$$

IV - 3-b Si c'est  $\text{Tox}$  qui est régénéré, l'ordre des réactions doit être :

